

## بورسی اثرات سیل مرداد ۱۳۸۰ شرق گلستان بر مورفولوژی رودخانه مادرسو

\*امین محمدی استادکلایه<sup>۱</sup>، ابوالفضل مساعدي<sup>۲</sup> و سینا علاقمند<sup>۳</sup>

<sup>۱</sup>به ترتیب مرتب گروه منابع طبیعی مجتمع آموزش‌های کنید و دانشیار گروه مهندسی آب دانشگاه علوم کشاورزی و منابع طبیعی گرگان،  
دانشجوی کارشناسی ارشد مهندسی رودخانه دانشگاه USM مالزی

تاریخ دریافت: ۸۵/۷/۳؛ تاریخ پذیرش: ۸۶/۲/۲۵

### چکیده

یک رودخانه به دفعات مقطع عرضی، پروفیل طولی، دوره جریان و الگوی خود را به موسیله فرآیندهای آب‌شستگی، انتقال و تهشیینی رسوب تغییر می‌دهد. به‌منظور پایدار نمودن توسعه فرهنگی و اقتصادی در مناطق مجاور یک رودخانه درک این فرآیندها ضروری می‌باشد. رودخانه مادرسو با طولی بالغ بر ۱۰۵ کیلومتر از جمله رودخانه‌های مهم حوضه آبخیز گرگان‌رود بوده که از ارتفاعات تنگراه و اسماعیل‌خان سرچشم‌گرفته و پس از اتصال شعبات فرعی دیگری به آن در محل دهکده حاجی‌قوشان از سمت چپ به گرگان‌رود می‌پیوندد. وقوع سیل ویرانگر مرداد ماه ۱۳۸۰ با دبی عبوری بالغ بر ۱۶۵۰ متر مکعب بر ثانیه در این رودخانه، علاوه‌بر ایجاد تلفات جانی و مالی بسیار در طول مسیر خود باعث ایجاد تغییرات شگرف بر مورفولوژی آن شده است. در تحقیق حاضر به‌منظور بررسی و شناخت نقش این سیل بر ویژگی‌های مورفولوژیکی رودخانه مادرسو و تعیین سطح اراضی تخریب شده در محدوده این رودخانه، ابتدا اقدام به انتخاب بازه‌ای به طول ۳۰ کیلومتر در مسیر رودخانه گردید. جهت بررسی خصوصیات مورفولوژیکی رودخانه در دوره قبل از وقوع سیل، نقشه‌های توپوگرافی ۱:۵۰۰۰۰ رقومی شده توسط سازمان جغرافیایی ارتش و تصاویر TM و ETM+ ماهواره‌لندهای مربوط به جولای سال ۲۰۰۰ مورد استفاده قرار گرفت. همچنین از نتایج اندازه‌گیری‌های عرض و عمق متوسط رودخانه که به فواصل ۳۰ متری در سال ۱۳۷۹ انجام گرفته بود، استفاده گردید. علاوه‌بر این، جهت بررسی وضعیت مورفولوژیکی رودخانه پس از وقوع سیل، از نقشه‌های پلان و پروفیل طولی با مقیاس ۱:۲۰۰۰ و پروفیل عرضی با مقیاس ۱:۱۰۰ در محدوده بازه مطالعه که در سال ۱۳۸۲ برداشت شده است، استفاده گردید. در هر بخش ضرایب مربوط به مورفولوژی رودخانه اعم از طول موج، طول مثاندر، شعاع اتحنا متوسط، دامنه نوسان و ضریب سینوسی شدن مورد محاسبه قرار گرفت. با بررسی مقادیر عرض و عمق متوسط بازه در دوره زمانی قبل و بعد از وقوع سیل مشخص شد که در محدوده مورد بررسی بالغ بر ۱۳۸ هکتار از اراضی حاشیه رودخانه در اثر وقوع سیل تخریب شده و به بستر سنگلانخی رودخانه تبدیل شده‌اند. مقایسات آماری نشان داد که بعضی از خصوصیات مرفولوژیکی شامل: طول قوس، طول موج، شعاع قوس و ضریب مثاندری در دو دوره قبل و بعد از سیل با هم تفاوت معنی‌داری پیدا نموده‌اند. ضمن آنکه بیش از ۷۵ درصد مثاندرهای خیلی توسعه یافته، از بین رفته و یا به انواع دیگری از مثاندر تبدیل شده‌اند. در ضمن با توجه به نقش سیلاب‌ها در تغییرات مورفولوژیکی رودخانه، تخریب اراضی و تأسیسات مجاور آن پیشنهاد می‌گردد که تحقیقات مشابه در بازه‌های دیگر رودخانه گرگان‌رود و سایر نواحی کشور انجام پذیرد.

واژه‌های کلیدی: مورفولوژی رودخانه، مثاندر، ضریب سینوزیته، سیل، رودخانه مادرسو

سری تصویر ماهواره‌ای *Land Sat* و *IRS* پرداخت. نتایج وی نشان داده است که خصوصیات قوس‌ها در حال تغییر بوده و تراکم و اندازه انتخای قوس‌ها به سمت پایین دست جابجا شده است. غریب‌رضا و معصومی (۱۳۸۵) در بررسی مورفو‌لولژی رودخانه زهره و تغییرات آن در جلگه ساحلی هندیجان در طی یک دوره ۳۵ ساله نتیجه‌گیری کردند که در طی دوره مورد مطالعه تعداد مثاندرها از ۴۳ عدد در ابتدای دوره به ۴۸ عدد افزایش پیدا کرده است در حالیکه ضریب خمیدگی رودخانه از ۳/۵۹ به ۳/۰۶ کاهش یافته است.

برتواندی و بیلی (۲۰۰۲) در بررسی اثر شدت سیل بر مورفو‌لولژی پخشی از رودخانه سینا نتیجه‌گیری نمودند که سیلاب‌های کوچک، مثاندرهای رودخانه را به سمت پایین دست منتقل می‌کنند در حالیکه سیلاب‌های بزرگ با ادغام و از بین بردن بعضی از مثاندرها باعث کاهش میزان ضریب سینوزیته و تعداد مثاندرها می‌شوند و به توسعه الگوی مستقیم در رودخانه منجر می‌شوند. بطور طبیعی سیلاب‌های بزرگ جزو مؤثرترین و عمدت‌ترین فاکتورهای جابجایی طولی مثاندرها بوده و روی طول موج مثاندر نیز تأثیر گذارند. در مورد سیلاب‌های کوچکتر، اصل بر جابجایی عرضی خم مثاندر بوده و عمدت تأثیر بر روی دامنه موج مثاندر است (تلوری، ۱۳۸۳؛ هوثر و همکاران، ۲۰۰۶).

بارش باران‌های شدید در روزهای ۱۹ و ۲۰ مرداد ۱۳۸۰ در نواحی شرقی استان گلستان منجر به رخداد سیل ویرانگری گردید که این سیل خارت‌بارترین سیل رخ داده سال ۱۳۸۰ در ایران و یکی از خارت‌بارترین سیل‌های سال ۲۰۰۱ میلادی در سطح جهان بود (مساعدي، ۱۳۸۰). بر اثر این سیل ۲۴۳ نفر کشته و ۱۹۰ نفر مفقود شدند، همچنین حدود ۶۱۸ میلیارد ریال خسارت مالی به بار آمد (علیجانی و گلپرنیان، ۱۳۸۳). وقوع سیلاب مخرب یا دینی عبوری بالغ بر ۱۶۵۰ مترمکعب بر ثانیه در محدوده رودخانه مادرسو علاوه بر ایجاد تلفات جانی و مالی بسیار در طول مسیر، باعث

## مقدمه

تمدن و توسعه اقتصادی یک جامعه با توانایی بیشینه کردن بهره‌ها و کمینه کردن خسارات ناشی از رودخانه‌ها رابطه نزدیک دارد. یک رودخانه به دفعات مقطع عرضی، پروفیل طولی، دوره جریان و الگوی خود را به‌وسیله فرآیندهای آب‌شستگی، انتقال و تهشیین رسوب تغییر می‌دهد. به‌منظور پایدار نمودن توسعه فرهنگی و اقتصادی در مناطق مجاور یک رودخانه درک این فرآیندها ضروری می‌باشد (کوچکزاده و یوسفی، ۱۳۸۰). تغییر و جابه‌جایی‌هایی که در اثر روند طبیعی و یا توسعه‌طلبی ناهنجار بشری در راستای مسیر و ابعاد هندسی رودخانه رخ می‌دهد، نتیجه منطقی عکس‌العمل سیستم رودخانه در جهت برقراری موازنۀ جدید می‌باشد. از این رو برخورد با رودخانه باید کاملاً هوشیارانه و مبتنی بر قواعد خاص حاکم بر آن باشد، زیرا هر گونه تغییر، هر چند موضعی، در ساختار رودخانه موجب یکسری تحولات جدید در محدوده گستره‌تری از آن خواهد بود که لازم است قبل از اعمال هر نوع اقدامی، عکس‌العمل رودخانه به آن پیش‌بینی گردد (تلوری، ۲۰۰۴). به عبارت دیگر، هر گاه تغییری چه طبیعی و چه مصنوعی در رودخانه صورت گیرد رودخانه نسبت به شرایط جدید عکس‌العمل نشان داده و سعی می‌کند با شرایط جدید به تعادل برسد.

۱۰

گرچه در بسیاری از مناطق جهان بررسی‌های متعددی برروی پدیده مثاندری شدن رودخانه‌ها صورت گرفته است، اما بدليل پیچیدگی فرآیندهای مختلف حاکم بر پدیده مثاندری شدن که ناشی از تفاوت در ویژگی‌های زمین‌شناسی، خاک‌شناسی، هیدرولوژیکی و بسیاری از عوامل دیگر است و همچنین بدليل تفاوت و تغییر شرایط از رودخانه‌ای به رودخانه‌ای دیگر، کاربرد نتایج ارائه شده با محدودیت‌های جدی مواجه‌اند (داورپناه، ۱۳۸۱؛ جولیان، ۲۰۰۲).

آل‌یاسین (۱۳۷۹) به بررسی رابطه بین شعاع موج و طول موج در رودخانه‌های دز و کارون پرداخت. مرید (۱۳۸۳) به بررسی تغییرات رودخانه کارون براساس ۴



گرگانرود است که از ارتفاعات تنگره و اسماعیل خان سرچشمه گرفته و پس از اتصال شعبات فرعی دیگری به آن در محل روستای حاجی‌قوشان از سمت چپ به گرگانرود می‌پیوندد (سازمان جغرافیایی وزارت دفاع و پشتیبانی نیروهای مسلح، ۱۳۸۲). دبی متوسط مادرسو در ایستگاه تنگره در طی یک دوره آماری ۲۵ ساله در حدود ۱/۵ مترمکعب بر ثانیه می‌باشد (مساعدی، ۱۳۸۰). در تحقیق حاضر به‌منظور بررسی نقش سیل ویرانگر مرداد ۱۳۸۰ شرق استان گلستان بر مورفولوژی رودخانه مادرسو ابتدا اقدام به انتخاب بازه‌ای به طول ۳۰ کیلومتر در مسیر رودخانه گردید. در جدول ۱ مختصات جغرافیایی نقاط ابتدا و انتهای بازه مورد بررسی آورده شده است. همچنین در شکل ۲ پلان رودخانه مادرسو و فاکتورهای مورفولوژیکی یکی از مثاندرهای رودخانه نمایش داده شده است.

ایجاد تغییرات شگرف بر مورفولوژی آن شده است (فرازجو، ۱۳۸۲). بخشی از مسیر رود مادرسو از پارک ملی گلستان (جنگل گلستان) عبور می‌کند. در شکل ۱ مسیر عبور این سیل در پارک ملی گلستان نشان داده شده است.

هدف از انجام تحقیق حاضر بررسی و شناخت نقش سیل ویرانگر مرداد ۱۳۸۰ بر ویژگی‌های مورفولوژیکی رودخانه مادرسو، از قبیل طول موج، طول مثاندر، عرض مثاندر، شعاع انحصار متوسط، دامنه نوسان و ضریب سینوسی شدن و مقایسه آماری ضرایب مورفولوژیکی در طی دو دوره زمانی قبل و بعد از وقوع سیل و تعیین سطح اراضی تخریب شده در محدوده مورد مطالعه می‌باشد.

## مواد و روش‌ها

رودخانه مادرسو با طولی بالغ بر ۱۰۵ کیلومتر و شبیه متوسط ۱ درصد از جمله رودهای مهم حوضه آبخیز

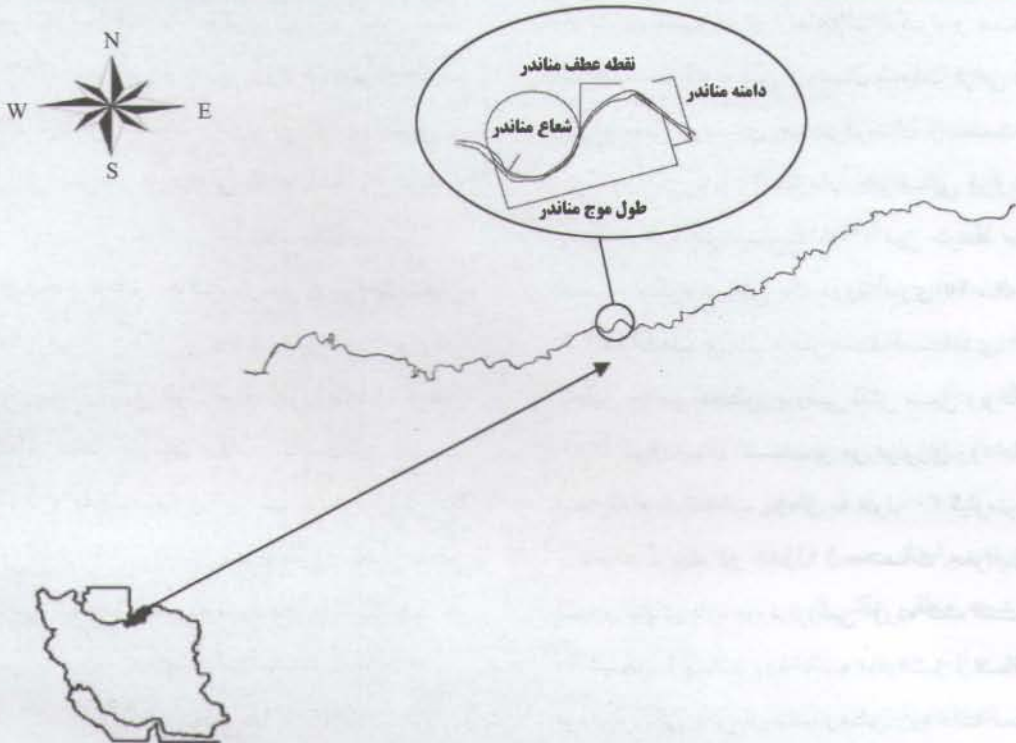


شکل ۱- مسیر عبور سیل در رود مادرسو در بخشی از پارک ملی گلستان (یک هفته پس از وقوع سیل در مرداد ۱۳۸۰).

جدول ۱- مختصات جغرافیایی بازه مورد مطالعه.

عرض جغرافیایی	طول جغرافیایی	عرض جغرافیایی شروع بازه	طول جغرافیایی شروع بازه	مختصات نقطه خاتمه بازه
۳۷° ۲۳' ۴۵"	۵۵° ۴۶' ۰۱"	۳۷° ۲۴' ۰۲"	۵۵°	۴۵' ۳۷"





شکل ۲- پلان رودخانه مادرسو در بازه مورد مطالعه و فاکتورهای مورفولوژیکی یکی از مثاندرهای رودخانه (فاقد مقیاس).

باندهای ۳، ۴ و ۵ انتخاب گردید. در ضمن دقت نتایج حاصله متأثر از قدرت تفکیک تصاویر می‌باشد و هر اندازه قدرت تفکیک تصاویر مورد استفاده بالاتر باشد، نتایج حاصل نیز دقت بالاتری خواهند داشت. از این‌رو جهت استفاده از حداقل قدرت تفکیک تصاویر، تصویر تفکیک تصاویر  $Pan$  ادغام گردید (قدرت  $RGB$  بدست آمده با باند  $Pan$  ادغام  $RGB$  باند  $Pan$  تصاویر تفکیک تصاویر  $RGB$ ، ۲۹ متر) و باند  $Pan$  تصاویر  $RGB$  بدست آمده با مقیاس ۱:۱۵ متر می‌باشد). همچنین جهت بررسی وضعیت مورفولوژیکی رودخانه پس از وقوع سیل، از نقشه‌های پلان با مقیاس ۱:۲۰۰۰ و همچنین از پروفیل-های طولی (با مقیاس ۱:۲۰۰۰) و عرضی (با مقیاس ۱:۱۰۰) بازه که در سال ۱۳۸۲ توسط شرکت آب منطقه‌ای استان گلستان برداشت شده است، استفاده گردید.

به منظور تعیین فاکتورهای مورفولوژیکی مثاندرهای موجود در قبل و پس از وقوع سیل و تعیین میزان تخریب اراضی حاشیه رودخانه در محدوده مورد مطالعه، ابتدا اقدام به شناسایی مثاندرهای موجود و سپس تعیین

جهت بررسی خصوصیات مورفولوژیکی رودخانه مادرسو قبل از وقوع سیل از نقشه‌های توپوگرافی ۱:۵۰۰۰۰ رقمی شده توسط سازمان جغرافیایی ارتش و تصاویر  $TM$  و  $TM+$  ماهواره لندست مربوط به جولای سال ۲۰۰۰ و نرم‌افزار  $ILWIS$  استفاده شده است. جهت آماده‌سازی تصاویر برای تعبیر و تفسیر و کاهش خطاهای، عملیات پیش پردازش برروی تصاویر انجام گرفت. پیش‌پردازش تصاویر باعث کاهش خطاهای ایجاد شده در تصویر شده و تصویر را به واقعیت موجود در زمین نزدیک می‌کند. پیش‌پردازش‌های اعمال شده شامل تصحیحات هندسی، تصحیحات رادیومتریک و ژئوفرنس نمودن تصاویر می‌باشد. نهایتاً جهت تفسیر بهتر تصاویر رنگی مرکب ( $RGB$ ) ساخته شدند. جهت تهیه مناسب‌ترین تصویر رنگی که در آن عوارض مختلف و بخصوص رودخانه بخوبی نمایان باشد، شاخص‌های متفاوت، نسبت بین باندهای مختلف و ماتریس همبستگی برای هر سری از تصاویر بررسی شده و نهایتاً ترکیب



و مقایسه مثاندرها با اشکال هندسی نزدیک به آنها، مشخص گردید که تطبیق شکل مثاندرها با منحنی سینوسی غیرممکن است، زیرا در مقایسه قوس‌ها با یکدیگر معلوم شد که نه تنها حلقه قوس‌ها با یکدیگر شباهت ندارد، بلکه اندازه آنها با یکدیگر نیز متفاوت بوده بطوریکه حتی دو مثاندر از لحاظ شکل و اندازه مانند هم نمی‌باشند.

تعداد مثاندرها: بررسی پلان بازه مورد مطالعه نشان داد که تعداد مثاندرهای رودخانه مادرسو از ۴۱ مثاندر در قبل از وقوع سیل ۱۳۸۰ به ۲۸ مثاندر پس از وقوع سیل کاهش یافته است که با نتایج برترولی و بیلسی (۲۰۰۲) که به بررسی اثر سیلاب‌های باشد متفاوت بر مورفولوژی رودخانه پرداخته بودند، مطابقت دارد. در جدول ۲ مشخصات آماری مثاندرهای مورد بررسی ارائه شده است.

زاویه مرکزی مثاندر: نتایج حاصل از تعیین مقادیر فراوانی زاویه مرکزی قوس‌های رودخانه مادرسو در قبل و بعد از وقوع سیل در جدول ۳ درج گردیده است.

با توجه به جدول ۳ مشخص می‌شود که بیشترین فراوانی زاویه مرکزی بازه مورد مطالعه در دو دوره زمانی قبل و بعد از سیلاب مربوط به حالت ماندری توسعه یافته است. ضمن اینکه تعداد مثاندرهای خیلی توسعه یافته از ۱۷ مورد قبل از وقوع سیلاب، به ۴ مورد بعد از وقوع سیلاب کاهش یافته است. این موضوع نشان می‌دهد که این سیل بیشترین تأثیر را بر روی مثاندرهای خیلی توسعه یافته داشته و بسیاری از آنها را حذف و یا جابجا نموده است. در ضمن در طول بازه مورد مطالعه اشکال شبه مثاندری و شاخه گاوی مشاهده نشد.

مشخصات هندسی مثاندرها از قبیل طول موج مثاندر (فاصله افقی بین دو نقطه متناظر از دو حلقه پیچانروド متوالی واقع بر محور رودخانه)، طول قوس مثاندر (طول خط مرکزی رودخانه، از یک نقطه عطف تا نقطه عطف اتحنای بعد)، شعاع اتحنا (شعاع دایره‌ای که بر قسمت عمده اتحنای پیچانرود مماس است)، زاویه مرکزی مثاندر (زاویه بین دو شعاع متصل به نقاط عطف هر قوس) و دامنه نوسان در دو دوره قبل و بعد از وقوع سیل در محیط نرم افزار اتوکد ۲۰۰۶ گردید. پارامترهای فوق در هر دوره با استفاده از مختصات سواحل راست و چپ رودخانه و با استفاده از روش‌های آنالیز ریاضی و هندسه تحلیلی محاسبه شدند. برای بدست آوردن دو پارامتر عرض و عمق متوسط رودخانه پس از وقوع سیلاب نیز، از مقاطع عرضی که با در مقیاس ۱:۱۰۰ تهیه و ترسیم شده‌اند، استفاده گردید. بدین‌منظور تعداد ۲۴۵ مقطع عرضی مورد بررسی قرار گرفت. جهت تکمیل اطلاعات موجود و بر-طرف کردن نواقص اقدام به انجام بازدیدهای صحرابی متعدد از قسمت‌های مختلف رودخانه شد. در ضمن به‌منظور تعیین وضعیت عرض و عمق رودخانه قبل از وقوع سیل از نتایج تحقیق میکائیلی و همکاران (۱۳۸۴) که به بررسی ساختار فیزیکی رودخانه مادرسو در سال ۱۳۷۹-۸۰ پرداخته بودند، استفاده گردید. جهت انجام تجزیه و تحلیل‌های آماری و مقایسه مشخصات مورفولوژیکی مثاندرها در هر یک از دوره‌های زمانی قبل و بعد از سیل از آزمون  $T$  نمونه‌های مستقل در محیط نرم افزار SPSS استفاده گردید.

## نتایج و بحث

در اندازه‌گیری کمی پارامترهای مثاندرهای رودخانه مادرسو در دو دوره قبل و بعد از رویداد سیل سال ۱۳۸۰



جدول ۲- مشخصات آماری مثاندرهای مورد بررسی در رودخانه مادرسو در دوره زمانی قبل و بعد از وقوع سیل ۱۳۸۰.

پارامتر	علامت اختصاری	نام بازه	حداکثر	حداقل	میانگین	انحراف معیار	حدود معنی‌داری
*	L	قبل از وقوع سیلاب	۸۲۲	۱۷۴	۳۸۳/۷	۱۷۱/۶	۲۹۶/۷
		بعد از وقوع سیلاب	۱۵۳۹	۳۸۸	۸۷۱/۲	۲۹۶/۷	۱۲۷/۹
**	$\lambda$	قبل از وقوع سیلاب	۶۲۷	۶۳	۲۶۲/۹	۱۲۷/۹	۲۹۶/۶
		بعد از وقوع سیلاب	۱۴۰۲	۲۲۳/۵	۶۷۳/۱	۴۱/۲	۲۹۳/۳
***	R	قبل از وقوع سیلاب	۱۸۰	۱۹	۷۹/۳	۸۳/۴	۷۲/۸
		بعد از وقوع سیلاب	۱۴۶۹/۰	۶۳	۲۷۴/۶	۱۰۰/۹	۸۰/۲
****	A	قبل از وقوع سیلاب	۳۷۷	۲۷	۱۲۱/۲	۲۱۴/۹	۴۵/۴
		بعد از وقوع سیلاب	۳۸۸	۸۲/۲	۸۲/۲	۲۹۲/۵	۱۲۴
*****	$\theta$	قبل از وقوع سیلاب	۲۹۲/۵	۶۴/۰	۱۰۰/۹	۱۲۱/۲	۳/۱
		بعد از وقوع سیلاب	۲۱۵/۰	۴۲/۵	۲/۱۲	۲/۱۲	۰/۵
*****	ضريب-مثاندر	قبل از وقوع سیلاب	۷/۰۲	۷/۰۲	۲/۰۵	۲/۰۵	۰/۵
		بعد از وقوع سیلاب	L/(λ/2)	۴/۵۳	۲/۷	۲/۷	۰/۵

\*- معنی دار در حدود اطمینان ۵ درصد.

\*\*- معنی دار در حدود اطمینان ۱ درصد.

جدول ۳- میزان رشد حلقه‌های مثاندری در رودخانه مادرسو در دوره‌های زمانی قبل و بعد از سیل براساس مقدار زاویه مرکزی.

شکل رودخانه	زاویه مرکزی (درجه)	وضعیت رودخانه	فرآوانی
شبه مثاندری	۰-۴۱	قبل از وقوع سیلاب	.
	۴۱-۸۵	بعد از وقوع سیلاب	.
مثاندری توسعه نیافته	۴۱-۸۵	قبل از وقوع سیلاب	۵
	۸۵-۱۰۸	بعد از وقوع سیلاب	۶
مثاندری توسعه یافته	۸۵-۱۰۸	قبل از وقوع سیلاب	۱۹
	۱۰۸-۲۹۶	بعد از وقوع سیلاب	۱۸
خیلی توسعه یافته	۱۰۸-۲۹۶	قبل از وقوع سیلاب	۱۷
	>۲۹۶	بعد از وقوع سیلاب	۴
شاخه گاوی		قبل از وقوع سیلاب	.
		بعد از وقوع سیلاب	.

۱۴

شدید و افزایش عرض رودخانه در بازه مورد نظر مربوط دانست، که این نتیجه با نتایج بر تولدی و بیلی (۲۰۰۲) که قوع سیلاب‌های بزرگ را عاملی جهت کاهش ضريب خمیدگی رودخانه می‌دانند، مطابقت دارد. همچنین آزمون‌های آماری نشان دادند که ضربه مثاندری در دوره مورد مطالعه با هم در سطح اطمینان یک درصد اختلاف معنی دار دارند.

شعاع مثاندر: بررسی مقادیر میانگین حسابی شعاع قوس‌ها در دو دوره زمانی مورد مطالعه، نشان داد که شعاع حلقه‌های مثاندری در رودخانه مادرسو پس از وقوع سیل افزایش یافته است. این مطلب حاکی از توسعه

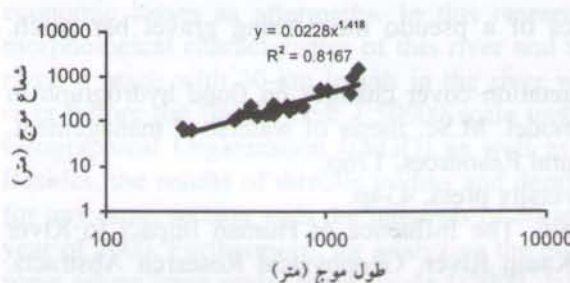
عرض متوسط رودخانه: بررسی‌های به عمل آمده نشان داد که وقوع سیل مورد نظر باعث ایجاد تغییرات شگرف در عرض رودخانه مادرسو شده است. همچنین حداکثر و حداقل عرض رودخانه قبل از وقوع سیلاب به ترتیب ۱۱ و ۶ متر بوده که پس از سیل به ترتیب به ۱۶۳/۳ و ۱۳/۵ متر رسیده است. در ضمن عرض متوسط رودخانه از ۸ متر به ۵۶ متر افزایش یافته است.

ضریب خمیدگی: نتایج حاصل از محاسبه مقدار ضربه خمیدگی، برای هر قوس نشان می‌دهد که ضربه خمیدگی در رودخانه پس از وقوع سیل از ۳/۱ به ۲/۷ کاهش یافته است که این امر را می‌توان به دلیل فرسایش



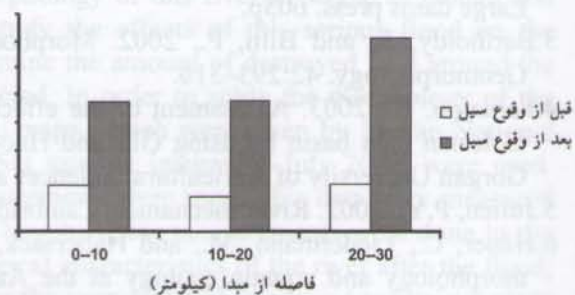
رودخانه مذکور مربوط دانست. در شکل ۳ هیستوگرام مقادیر شعاع مثاندرها در دوره‌های زمانی قبل و بعد از سیل در طول بازه مورد نظر نشان داده شده است.

نتایج حاصل از این مطالعه نشان می‌دهند که در بازه مورد مطالعه می‌توان بین طول موج و شعاع انحنا یک رابطه غیرخطی برقرار نمود. در شکل‌های ۴ و ۵ رابطه بین طول موج و شعاع مثاندرها در رودخانه مادرسو در دو دوره زمانی مورد مطالعه نشان داده است. با توجه به این معادلات مشاهده می‌گردد که تاثیرپذیری شعاع انحنا از طول موج در دوره قبل از سیل بیشتر از دوره بعد از آن بوده است. ضمن آنکه رابطه همبستگی بین طول موج و شعاع انحنا در دوره قبل از سیل بیشتر از دوره بعد از آن می‌باشد. این مطلب با نتایج حاصل از تحقیق آل یاسین (۱۳۷۹) در مورد رودخانه‌های دز و کارون مطابقت دارد.

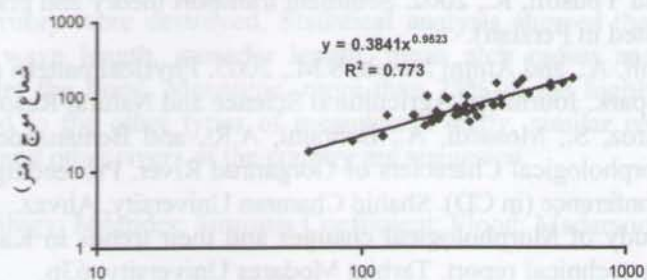


شکل ۴- رابطه بین طول موج و شعاع مثاندرها در رودخانه مادرسو قبل از وقوع سیل.

شعاعی حلقه‌های مثاندری می‌باشد. همچنین بررسی‌های آماری بیانگر آن است که شعاع مثاندر رودخانه، قبل و بعد از وقوع سیل در سطح اطمینان ۱ درصد دارای اختلاف معنی دار می‌باشند. در ضمن با تقسیم‌بندی بازه مورد مطالعه به سه قسمت مساوی با طول ۱۰ کیلومتر (به عنوان مناطق بالادست، میانی و پایین دست بازه) و بررسی شعاع مثاندرها در هر دو دوره قبل و بعد از وقوع سیل، می‌توان نتیجه گرفت که با حرکت به سمت پایین دست رودخانه، به تدریج شعاع مثاندرها افزایش می‌یابد. این مطلب با نتایج محمدی و همکاران (۱۳۸۵) که بیان می‌کنند در شاخه اصلی رودخانه گرگانی‌رود با حرکت رودخانه به سمت پایین دست شعاع مثاندرها کاهش پیدا می‌کند، مغایرت دارد. این امر را می‌توان به تشکیلات متفاوت زمین‌شناسی و وضعیت توپوگرافی در دو



شکل ۳- هیستوگرام فراوانی مقادیر شعاع مثاندرها در رودخانه مادرسو در طول بازه، قبل و بعد از وقوع سیل.



شکل ۵- رابطه بین طول موج و شعاع مثاندرها در رودخانه مادرسو بعد از وقوع سیل.



می‌گردد تحقیقات مشابه در بازه‌های دیگر رودخانه گرگان‌رود و سایر نواحی کشور انجام پذیرد. همچنین نقش سد گلستان ۱ در تغییرات مورفولوژیکی نواحی بالادست و پایین‌دست رودخانه، مورد مطالعه و بررسی قرار گیرد.

### سپاسگزاری

نگارندگان بر خود لازم می‌دانند از همکاری صمیمانه شرکت آب منطقه‌ای استان گلستان بهدلیل در اختیار قراردادن بخشی از اطلاعات مورد نیاز این تحقیق، کمال تشکر و قدردانی را داشته باشند.

در این تحقیق، پس از بررسی معادلات همبستگی، بین دو پارامتر ضربی خمیدگی و طول قوس، ارتباط معنی‌داری بین آنها بدست نیامد. دلیل این امر را می‌توان به تغییرات زیاد در مشخصات خم‌ها مربوط دانست.

با بررسی مقادیر عرض و عمق متوسط بازه در دوره زمانی قبل و بعد از وقوع سیل می‌توان نتیجه گرفت که بالغ بر ۱۳۸ هکتار از اراضی حاشیه رودخانه در محدوده مورد مطالعه در اثر وقوع سیل تخریب شده و به بستر سنگلاخی رودخانه تبدیل شده‌اند.

با توجه به نقش سیلاب‌ها در تغییرات مورفولوژیکی رودخانه، تخریب اراضی و تاسیسات مجاور آن پیشنهاد

### منابع

1. Aljani, B., and Gol Parnian, T., 2004. Synoptic patterns of Gorgan river's floods. Quarterly Geographical Journal of Territory. 1:2.1-20.
2. Al Yasin, A., 2000. Utilizing of River Engineering for Dez and Karoun Rivers. Iranian committee on Large dams press. 603p.
3. Bartholdy, J., and Billi, P., 2002. Morphodynamics of a pseudo meandering gravel bar reach. Geomorphology. 42:293–310.
4. Farazjoo, H., 2003. Assessment of the effect of vegetation cover changes on flood hydrograph in Golestan dam basin by using GIS and Hec-HMS model. M.Sc. thesis of watershed management. Gorgan University of Agricultural Sciences and Natural Resources. 176p.
5. Julien, P.Y., 2002. River mechanics. Cambridge University press, 434p.
6. Hauer, C., Liedermann, M., and Habersack, H., 2006. The Influence of Human Impact to River morphology and aquatic ecology at the Austrian Kamp River. Geophysical Research Abstracts. 8:07430.
7. Ghraib Reza, M., and Masoumi, H., 2007. Zohreh River Morphology and its variation in Hendijan Delta. Proceedings of the 7<sup>th</sup> International River Engineering Conference (in CD). Shahid Chamran University, Ahvaz.
8. Kouchak Zade, S., and Yousofi, K., 2002. Sediment transport theory and practice. Tehran University press. 446p. (Translated in Persian).
9. Mikaeili, A. R., Abdoli, A., and Amini Nasab, S.M., 2005. Physical pattern of the Madar-Sou stream in Golestan national park. Journal of Agricultural Science and Natural Resources. 12:3:100-111.
10. Mohammadi, A., Firoz, S., Mosaedi, A., Bahrami, A.R., and Bemanzadeh, M., 2007. Study and Determination of Morphological Characters of Gorganrud River. Proceedings of the 7<sup>th</sup> International River Engineering Conference (in CD). Shahid Chamran University, Ahvaz.
11. Morid, S., 2004. Study of Morphological changes and their trends in Karoun River applying RS technique. University technical report. Tarbiat Modares University. 63p.
12. Mosaedi, A., 2002. Investigation on explanation and enlarge damage parameters of East Golestan August 2001 flood. University technical report. Gorgan University of Agricultural Sciences and Natural Resources. 40p.
13. National Geographical Organization publication. 2003. The phrase geographical book of Rivers in the I.R. of Iran-Caspian sea watershed. Second Volume. 327p.
14. Telvary, A.R., 2004. Fundamentals of river training and engineering. Ministry of jahad-e-Agriculture. Agricultural Research and Education Organization. Soil conservation and watershed management institute press. 454p.



## Effects of East-Golestan August 2001 Flood on the morphology of Madarsoo river

A. Mohammadi<sup>1</sup>, A. Mosaedi<sup>1</sup> and S. Alaghmand<sup>2</sup>

<sup>1</sup>Instructor of Dept., of Natural Resources & Associate Prof. of Dept., of Water Eng., Gorgan University of Agricultural Sciences and Natural Resources, respectively,

<sup>2</sup>M.Sc. Student of River Engineering, USM. Malaysia

### Abstract

A river changes frequently its cross sections, longitude profiles and its patterns by river erosion, transport processes and sediment deposition. Considering the changes of river morphology on the vicinity of a river is necessary for stabilize cultural and economical developments. Madarsoo River with longer than 105 km is one of the most important rivers in Gorganroud watershed, which emanate from Esmaeilkhan and Tangrah mountains and finally joints to Gorgan River in Haji-Ghooshan village. The occurrence of a serious flood in August 2001 in Madarsoo river, which its discharge was in excess of  $1650 \text{ m}^3/\text{s}$ , caused severe changes on morphology of this river as worse as human and economic losses as aftermaths. In this research, to study the effects of this serious flood on the morphological characteristics of this river and to determine the amount of destroyed land around the river, a reach with 30-km length in the river was selected. In order to study the morphology of the river before the flood, some 1:50000-scale topographic maps, which were taken by Iranian National Geographical Organization (INGO) as well as Land Sat satellite images of July 2000, were used. Besides, the results of directly widths and depths measurements were used. This data were measured for any cross section with the intervals of 30 meter in length. These measurements were done in the year of 2000. Furthermore, for analyzing the morphological characteristics of the river after the flood, some others large scales maps (scale 1:2000, 1:100 from the year of 2003) were used to retrieve plans and to measure parameters such as cross-sections and longitude profiles. In each section, the coefficients related to morphological parameters such as wave length, meander length, meander width, mean arch radius, frequency ranges and sinusitis coefficient were calculated. With considering the mean width and depth of the reach for two periods of before and after flood, it was estimated that more than 138 hectares of territory were destroyed. Statistical analysis showed that some morphological characteristics such as: wave length, meander length, mean arch radius and sinusitis coefficient, significantly changed after the flood. Meantime, more than 75% of the highly developed meanders were cracked or changed to the other types of meanders. Finally, similar researches for the other reaches of Gorgan River and other rivers of the country are suggested.

**Keywords:** River Morphology; Meander; Sinusitis Coefficient; Flood; Madarsoo River

